

УДК 001.5

ВРЕМЯ-ЧАСТОТНЫЙ АНАЛИЗ ГАРМОНИИ ВСЕЛЕННОЙ¹

Кулакова Маргарита Андреевна, кандидат технических наук, доцент кафедры устойчивого инновационного развития Международного университета природы, общества и человека «Дубна», член-корреспондент Российской академии Естественных наук (РАЕН), член Международной Научной школы устойчивого развития

Аннотация

В статье проводится время-частотный анализ гармонии Вселенной, рассматриваются известные физические явления в октавном порядке. Рассчитывается длина и энергия волны планет Солнечной системы, космические гармоники.

КЛЮЧЕВЫЕ СЛОВА: время-частотный анализ, длина волны, энергия волны, мощность волны, цвето-звуковое воздействие, волновая вселенная.

TIME-FREQUENCY ANALYSIS OF THE UNIVERSE'S HARMONY

Margarita Andreyevna Kulakova, Ph.D., assistant professor of sustainable innovative development department of the International University of Nature, Society and Man "Dubna", associate member of Russian Academy of Natural Sciences (RANS), a member of the International Scientific School of Sustainable Development

Abstract

The article presents the time-frequency analysis of the universal harmony, considers well-known physical phenomena in the octave order. Wave length and wave energy of the solar system planets and space harmonics are calculated.

KEYWORDS: time-frequency analysis, wave length, wave energy, wave power, color and sound influence, wave universe.

Исследование гармонии Вселенной позволил взгляд на пространство и время с позиций ЛТ системы, разработанной учеными Германом Я. (1716), Максвеллом Дж. (1855), Брауном Б. (1941), Бартини Р.А. (1965), Кузнецовым П.Г (1973), Большаковым Б.Е. (1990), Кузнецовым О.Л. (2000) [1, 2, 5], которые научно обосновали универсальные возможности пространственно-временной ЛТ-системы. Одним из ее достоинств является то, что можно стандартно и наглядно изобразить все известные и еще не открытые законы Реального мира, выраженные на универсальном пространственно-временном ЛТ-языке [1, 2, 3, 5].

В данной работе используется универсальная величина – ЧАСТОТА [L^0T^{-1}], обратная величине ВРЕМЯ [L^0T^1], оценивающая процессы, происходящие на разных уровнях взаимодействия во Вселенной: планетарных, цветовых, звуковых, электромагнитных, физических, химических, биологических и других.

Величина ЧАСТОТА измеряется в ГЕРЦАХ. По определению **Герц (Hz)** – **стандартная единица измерения частоты.**

¹ Работа выполнена в рамках исследований процессов гармонизации и устойчивого развития в системе природа–общество–человек, проводимых Научной школой устойчивого развития (научный руководитель д.т.н., проф. Б.Е.Большаков).

Один Герц – частота периодического процесса, при которой за время 1 сек происходит один цикл процесса, измеряемый в секундах.

Достаточно знать продолжительность в секундах одного любого законченного процесса, можно рассчитать частоту этого процесса в Герцах, обратив при этом внимание на то, что это будет универсальная **ОТНОСИТЕЛЬНАЯ ВРЕМЯ-ЧАСТОТНАЯ** величина.

Пример: Продолжительность одного процесса, равного одной секунде, будет оцениваться в один Герц (Гц): $1 / \text{сек} = 1 \text{ Гц}$; тогда Секунда равняется: $1 / 1 \text{ Гц}$.

Продолжительность вращения Земли вокруг собственной оси равняется: $24 \text{ часам} \times 60 \times 60 = 86\,000 \text{ секундам}$, что составляет $1,15 \cdot 10^{-5} \text{ Гц}$.

Примеры из биологии: отметим, что согласно данным эмбриологии, во второй фазе оплодотворения - контактном взаимодействии - сперматозоиды вращают яйцеклетку. Многочисленные спермии приближаются к яйцеклетке и вступают в контакт с ее оболочкой. Яйцеклетка начинает совершать вращательные движения вокруг своей оси **со скоростью 4 вращения в минуту**. Эти движения обусловлены влиянием биения жгутиков сперматозоидов и продолжаются около 12 ч. Здесь укажем, что скорость вращения 4 оборота в минуту соответствует $6,66 \cdot 10^{-2} \text{ Гц}$.

Из биологии [10] известно, что среди биоритмов мозга во время сна обнаруживается **ритм с периодом 15-20 секунд**, способствующий оптимизации приспособительной деятельности организма, повышению секреции гормонов анаболического действия, клеточному обновлению и увеличению скорости митозов в разных тканях, синтезу белков и РНК, в т.ч. в мозге, ядрах гипоталамуса. Ритм с периодом 15 секунд **равнозначен частоте $6,66 \cdot 10^{-2} \text{ Гц}$** ($1/15 \text{ сек} = 0,066 \text{ Гц}$ (по справочнику)).

Если Вы не убедились в универсальности Герца, попробуйте сами просчитать любой циклический процесс из любой области науки. Тогда он (ГЕРЦ) приобретет величину **ОСОЗНАВАЕМУЮ**, которой можно пользоваться при решении оценочных задач.

Не менее интересной величиной в Справочнике [6] является длина волны, которая по всей октавной матрице изменяется от миллиардов километров до нано метров. Мы ее определили, как **информационная волна**. Обратите внимание на соотношение малых частот и соответствующих им больших длин волн.

Длина информационной волны:

$$L_m = C \text{ (м/с)} / \nu \text{ (м)}, \quad (1)$$

где C - константа скорости света ($C = 2,99792458 \cdot 10^8 \text{ м/с}$);

ν - частота волны.

Длина информационной волны рассматривается, как мера потенциального пространства [3, 6].

В справочнике приведены расчеты следующих физических величин:

$$\text{Энергия волны: } E \text{ (Дж)} = h \cdot \nu, \quad (2)$$

где h - постоянная Планка;

ν - частота Гц.

$$\text{Энергия волны: } E \text{ (эВ)} = E \text{ (Дж)} / 1,60217653 \cdot 10^{-19}, \quad (3)$$

где $1,60217653 \cdot 10^{-19}$ - коэффициент пересчета.

$$\text{Масса волны: } m \text{ (кг)} = E \text{ (Дж)} / C^2 \text{ (м/с)}^2; \quad (4)$$

где C - скорость света ($C = 2,99792458 \cdot 10^8$ м/с).

$$\text{Масса волны: } m \text{ (а. е.м.)} = \text{масса (кг)} / 1,66 \cdot 10^{-27}, \quad (5)$$

где $1,66 \cdot 10^{-27}$ - переводной коэффициент.

$$\text{Мощность волны: } W \text{ (Вт)} = m \text{ (кг)} \cdot C^2 \text{ (м/с)}^2 \cdot \nu \text{ (Гц)}, \quad (6)$$

где m - масса (кг);

C - скорость света ($C = 2,99792458 \cdot 10^8$ (м/с));

ν - частота (Гц).

Эти данные рассчитаны по правилу октав для 179 октав. Начало расчета относится к нахождению частотных характеристик звука, наиболее знакомых нам в ощущениях. Эти величины объединены в книгу [6].

Настоящая работа является исследованием гармонии Вселенной с точки зрения постулатов Пифагора, которые гласят: тоны, составляющие гармонические интервалы с первоначальным тоном, появляются только в том случае, если соотношение длин звучащей части и целой струны представляет собой соотношение целых чисел, к примеру, 2:1, 3:2, 4:3 (2; 1,5; 1,33). Эти целочисленные соотношения – архетипы формы, выражающей гармонию и равновесие (Пифагор, VI в до Р.Х.) [8].

Целочисленные отношения 2:1 – это ОКТАВА; 3:2 – КВИНТА; 4:3 – КВАРТА; 3/5 – ЗОЛОТОЕ СЕЧЕНИЕ.

Напоминаем, что Гармония вибрирующего пространства Солнечной системы в данной работе рассматривается с позиций волновых процессов, исходя из следующего определения волны:

1. Волна – изменение состояния среды (возмущение), распространяющееся в этой среде и переносящее с собой энергию.
2. Излучения с разной длиной волны, но одинаковые по физической размерности, могут взаимодействовать друг с другом, **интерферировать**.

Интерференция волн — взаимное усиление или ослабление амплитуды двух или нескольких когерентных **волн**, одновременно распространяющихся в пространстве. Сопровождается чередованием максимумов и минимумов (пучностей) интенсивности в пространстве.

3. Наложение волн при интерференции показывает, что высокочастотная волна модулируется малой частотой.
4. Излучателями волн околоземного космического пространства являются планеты Солнечной системы, имеющие шаровидные формы, образующие сферическую волну [9].

Излучения с разной длиной волны, но одинаковые по физической размерности, могут взаимодействовать друг с другом, **интерферировать**. При этом могут возникнуть следующие частные эффекты:

- **Стоячие волны** – частный случай интерференции. **Стоячие волны** образуются в результате наложения двух **волн** одинаковой амплитуды, фазы и частоты, распространяющихся в противоположных направлениях.
- **Битения** – периодическое уменьшение и увеличение амплитуды суммарного излучения, которые возникают при наложении двух гармонических колебаний с близкими частотами.

Октава

В предлагаемой нами работе мы показываем волновую природу единства мира на звуковой октаве, как наиболее изученной и знакомой нам в ощущениях.

Швейцарский ученый, доктор Ханс Йенни, свою работу в области взаимосвязей между звуком и формой назвал «киматикой» (от греческого *кута* – волна) [11]. Киматика – это наука о формообразующих свойствах волн. Десятилетние исследования в этом направлении позволили, Йени сказать: «Теперь уже не вызывает сомнений, что и в сфере неорганической материи, и в мире живой природы действуют одни и те же законы гармонической организации. Мы наглядно показали, что гармонические системы, представленные в наших экспериментах, возникают под действием колебаний в форме интервалов гармонических частот. Это неоспоримо» [11].

Гармонические системы легче всего определить на основе взаимосвязи звука и цвета.

Для расчета соотношений звука и цвета авторами данной работы использовано Правило октав: $F_n = 2^n F_1$ Где 2 –учитывает удвоение, а n- порядок октавы [6]. Для настройки музыкальных инструментов берется всем известная гостированная нота ЛЯ, значения частоты которой не поддается сомнению и равняется 440 Гц. Значение семи нот разложены в ряд $2^{1/7}, 2^{2/7}, 2^{3/7}, 2^{4/7}, 2^{5/7}, 2^{6/7}, 2^{7/7}$, где $2^{7/7} = 440$ Гц.

Данные расчета сведены в таблицу 1.

Табл. 1. Частота звука в четырех октавах (Гц)

НОТА	ЧАСТОТА ЗВУКА, Гц			
	Малая октава	1 октава	2 октава	3 октава
ДО	134,1	268,2	536,4	1072,8
РЕ	148,1	296,2	592,4	1184,4
МИ	163,4	326,8	653,8	1307,6
ФА	178,6	357,3	714,6	1429, 2
СОЛЬ	199,2	398,4	796,8	1593,6
ЛЯ	220,0	440,0	880,0	1760,0
СИ	242,9	485,8	971,6	1943,2

При необходимости расчет возможно продолжить: значение частоты в пятой октаве будет равно удвоенному значению частоты четвертой октавы и так далее.

Значение частот в малой октаве (по отношению к первой октаве) пианино будет равно значению частоты в первой октаве уменьшенной в 2 раза.

В таблице 2 представлены результаты расчета частотных характеристик выполненные по «правилу октав», и справочные данные физических явлений.

Табл. 2. Известные физические явления в октавном порядке

Порядок	Октавы	Физическое явление
1	От -30 до -38	Основные вибрации планет при вращении вокруг Солнца
2	От -24 до -33	Основные вибрации планет при вращении вокруг собственной оси
3	От 2 до -9	Биоритмы мозга
	От -5 до -6	Печень
	От -5 до -4	Сердце
4	От 7 до -4	Диапазон слышимых звуков
5	От 7 до 1	Диапазон сверхдлинных электромагнитных волн
6	От 7 до 10	Длинные радиоволны
7	От 11 до 14	Средние радиоволны
8	От 14 до 17	Короткие радиоволны
9	От 17 до 24	Ультракороткие радиоволны
10	От 24 до 27	Телевидение СВЧ
11	От 27 до 30	Радиолокация СВЧ
12	От 31 до 41	Инфракрасное излучение

Порядок	Октавы	Физическое явление
13	От 41 до 42	Видимый свет
14	От 40 до 43	Химические элементы
15	От 42 до 47	Ультрафиолетовое излучение
16	От 47 до 57	Рентгеновское излучение
17	От 57 до 67	Гамма излучение
18	От 67 до 80	Космические лучи

Комментарии к таблице даются только по числовым значениям параметров, без исследования их природы.

В завершении анализа полученных данных можно обоснованно утверждать:

Октава – это часть вибрирующего время-частотного потока от P до $2P$. Правило октав является проекцией **фундаментального закона сохранения гармонии**, как в частном случае – в музыке, так и в общем – в природе.

Квинта, кварта, золотое сечение

Рассмотрим таблицы Справочника [6], выстроенного по Правилу октав, в которых приведены длины волн и энергии планетарных колебаний, и определим длины волн и энергии планет Солнечной системы (табл. 3).

Табл. 3. Длина волны и энергия волны планет Солнечной системы

Планеты	Сатурн	Юпитер	Уран	Нептун	Марс	Земля	Солнце	Меркурий	Венера	Луна
Длина волны, м	$1,04 \cdot 10^{13}$	$1,04 \cdot 10^{13}$	$1,1 \cdot 10^{13}$	$1,7 \cdot 10^{13}$	$2,5 \cdot 10^{13}$	$2,53 \cdot 10^{13}$	$7,32 \cdot 10^{14}$	$1,62 \cdot 10^{15}$	$6,46 \cdot 10^{15}$	$1,7 \cdot 10^{17}$
Энергия волны, эВ	$1,20 \cdot 10^{-19}$	$1,20 \cdot 10^{-19}$	$1,1 \cdot 10^{-19}$	$7,3 \cdot 10^{-20}$	$4,91 \cdot 10^{-20}$	$4,91 \cdot 10^{-20}$	$1,69 \cdot 10^{-21}$	$7,67 \cdot 10^{-22}$	$1,92 \cdot 10^{-22}$	$7,31 \cdot 10^{-24}$

Из таблицы 3 видно, что в Солнечной системе самая длинная волна у Луны, равная $1,7 \cdot 10^{17}$ м. Она превышает длину волны планеты Сатурн при обращении вокруг Солнца.

Если за начало нисходящей «ветви» взять длину волны Луны, то будем иметь следующее расположение числовых значений, показанной фрагментально для квинты, кварты и золотого сечения. Полная матрица значений дана во втором издании Справочника [6]. Это означает, что максимальная величина длины волны Луны, равная $1,696 \cdot 10^{17}$ м, умножалась на нисходящий коэффициент 0,66 (квинта); 0,75 (кварта); 0,618 (золотое сечение) (табл. 4 – 6).

Табл. 4. Квинта: диапазон химических элементов – длина волны (м)²

Октава	Длина волны (м)						
	-29	6,006E+14	5,437E+14 5,78E+14	4,927E+14	4,462E+14	4,040E+14 3,85E+14	3,658E+14
-28	3,003E+14	2,719E+14	2,463E+14 2,57E+14	2,231E+14	2,020E+14	1,829E+14	1,657E+14 1,71E+14
-27	1,501E+14	1,359E+14	1,232E+14	1,116E+14 1,14E+14	1,010E+14	9,145E+13	8,283E+13
-26	7,507E+13 7,61E+13	6,797E+13	6,158E+13	5,578E+13	5,050E+13 5,07E+13	4,572E+13	4,141E+13
-25	3,753E+13	3,398E+13 3,38E+13	3,079E+13	2,789E+13	2,525E+13	2,286E+13 2,25E+13	2,071E+13
-24	1,877E+13	1,699E+13	1,540E+13 1,50E+13	1,394E+13	1,262E+13	1,143E+13	1,035E+13 1,0E+13

Табл. 5. Квинта: диапазон химических элементов – цвет – длина волны (м)

Цвет / октава	до	ре	ми	фа	соль	ля	си
38	8,139E-06	7,369E-06 7,30E-06	6,677E-06	6,047E-06	5,475E-06	4,957E-06 4,87E-06	4,490E-06
39	4,070E-06	3,685E-06	3,338E-06 3,25E-06	3,024E-06	2,738E-06	2,479E-06	2,245E-06 2,16E-06
40	2,035E-06	1,842E-06	1,669E-06	1,512E-06 1,44E-06	1,369E-06	1,239E-06	1,123E-06
41	1,017E-06	9,211E-07 9,62E-07	8,346E-07	7,559E-07	6,844E-07	6,197E-07 6,41E-07	5,613E-07
42	5,087E-07	4,606E-07	4,173E-07 4,27E-07	3,780E-07	3,422E-07	3,098E-07	2,806E-07 2,85E-07

Табл. 6. Кварта: диапазон планетарных колебаний – длина волны (м)³

Нога / октава	до	ре	ми	фа	соль	ля	си
-29	6,006E+14	5,437E+14 5,24E+14	4,927E+14	4,462E+14	4,040E+14 3,94E+14	3,658E+14	3,313E+14
-28	3,003E+14 2,96E+14	2,719E+14	2,463E+14	2,231E+14 2,23E+14	2,020E+14	1,829E+14	1,657E+14 1,67E+14
-27	1,501E+14	1,359E+14	1,232E+14 1,26E+14	1,116E+14	1,010E+14	9,145E+13 9,46E+13	8,283E+13
-26	7,507E+13 7,12E+13	6,797E+13	6,158E+13	5,578E+13 5,35E+13	5,050E+13	4,572E+13	4,141E+13 4,02E+13
-25	3,753E+13	3,398E+13	3,079E+13 3,02E+13	2,789E+13	2,525E+13	2,286E+13 2,27E+13	2,071E+13

² Квинта: отношение 2 : 3; коэффициент нисходящей и восходящей ветвей соответственно 0,66 и 1,5.³ Кварта: отношение 3 : 4; коэффициент нисходящей и восходящей ветвей соответственно 0,75 и 1,33.

Табл. 7. Кварта: диапазон химических элементов – длина волны (м)

Цвет/ октава	до	ре	ми	фа	соль	ля	си
38	8,139E-06 8,00E-06	7,369E-06	6,677E-06	6,047E-06 6,01E-06	5,475E-06	4,957E-06	4,490E-06 4,52E-06
39	4,070E-06	3,685E-06	3,338E-06 3,40E-06	3,024E-06	2,738E-06	2,479E-06 2,56E-06	2,245E-06
40	2,035E-06	1,842E-06 1,92E-06	1,669E-06	1,512E-06	1,369E-06 1,44E-06	1,239E-06	1,123E-06
41	1,017E-06 1,09E-06	9,211E-07	8,346E-07 8,17E-07	7,559E-07	6,844E-07	6,197E-07 6,14E-07	5,613E-07
42	5,087E-07	4,606E-07 4,62E-07	4,173E-07	3,780E-07	3,422E-07 3,47E-07	3,098E-07	2,806E-07

Табл. 8. Золотое сечение: диапазон планетарных колебаний – длина волны (м)⁴

Нога/ октава	до	ре	ми	фа	соль	ля	си
-29							3,254E+14
-28					2,011E+14		
-27			1,243E+14				
-26	7,679E+13						

Табл. 9. Золотое сечение: диапазон химических элементов – длина волны, м.

Нога/ октава	до	ре	ми	фа	соль	ля	си
38							4,532E-06
39					2,801E-06		
40			1,731E-06				
41	1,07E-06						

Во всех рассматриваемых случаях наблюдаются закономерности:

- 1) Длина волны процесса, исследуемого в диапазоне планетарных колебаний спирально уменьшается по закону Архимеда.
- 2) Уменьшение длины волны приводит к уплотнению пространства в наблюдаемой спирали.
- 3) Эта закономерность наблюдается в диапазонах планетарных колебаний, слышимых звуков, длинных, средних и коротких радиоволн, в инфракрасном излучении и в диапазоне химических элементов и далее до космических лучей (рис. 1 – 2).

⁴ Золотое сечение: отношение 3 : 5; коэффициент нисходящей и восходящей ветвей соответственно 0,618 и 1,618.

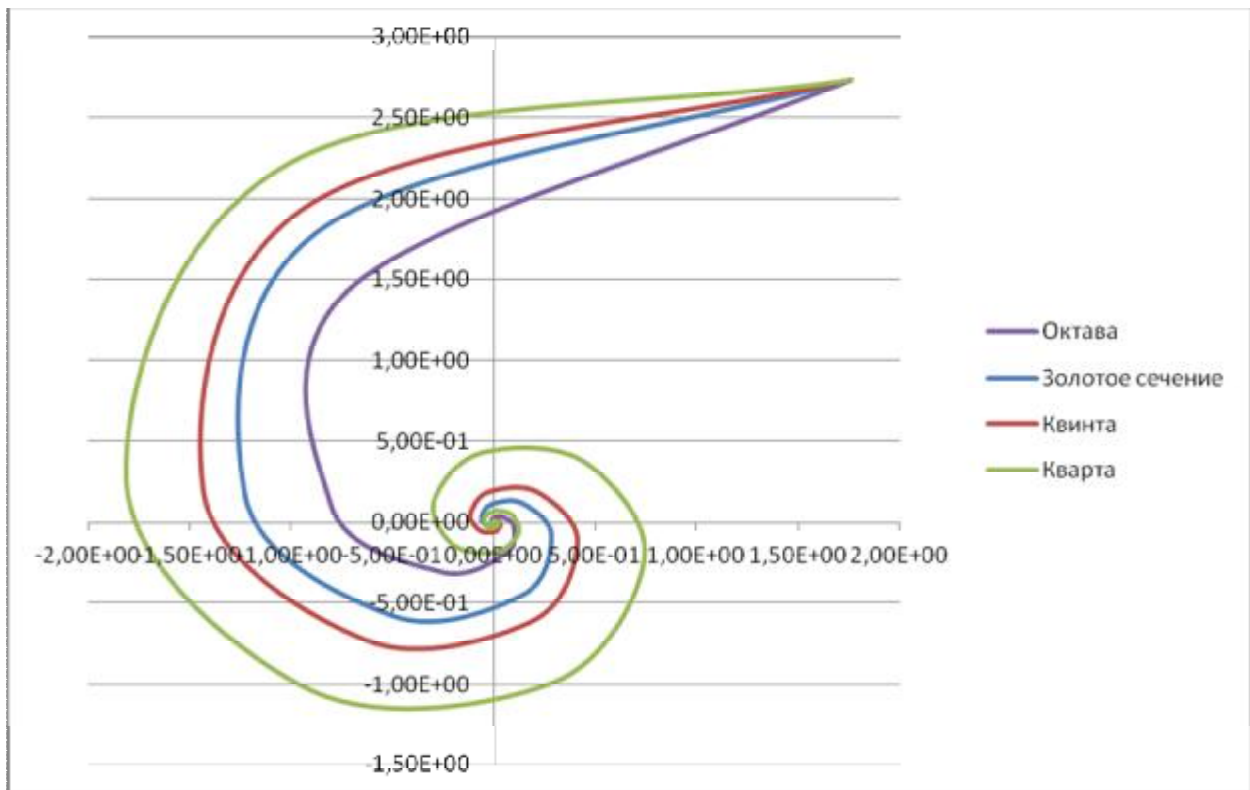


Рис. 1. Длина волны спирально уменьшается по закону Архимеда
(начальная точка – длина волны Луны, конечная – космические частицы)

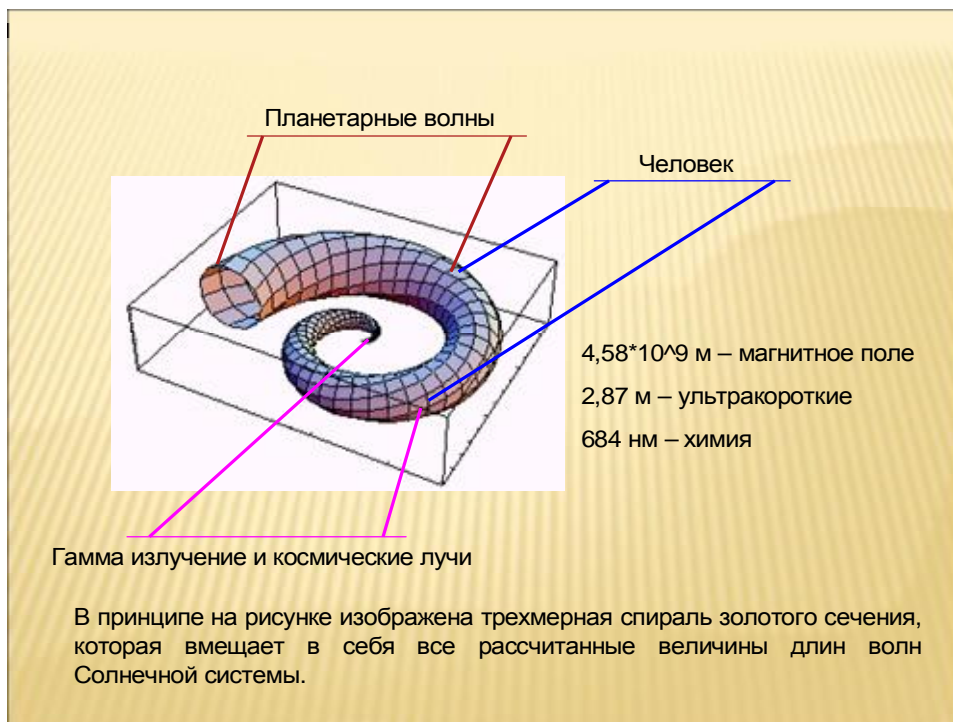


Рис. 2. Трехмерная спираль золотого сечения

- 4) Но немаловажным наблюдением является то, что весь этот процесс в квинте идет в противоположную сторону закономерностям золотого сечения. А в кварте процесс встречный. На рисунке 1, рассчитанным по математическим формулам, это не видно, но по графическому построению кардиоиды, эта закономерность встречных движений хорошо просматривается (рис. 3 – 4).

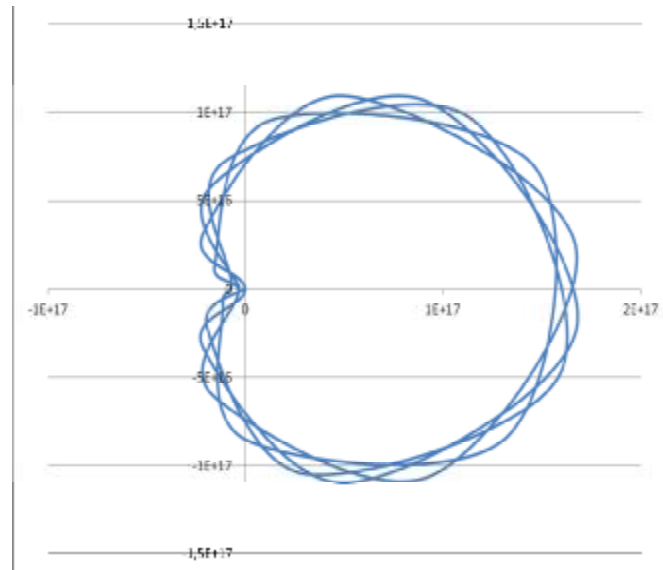


Рис. 3. Кардиоиды, построенная по табличным значениям

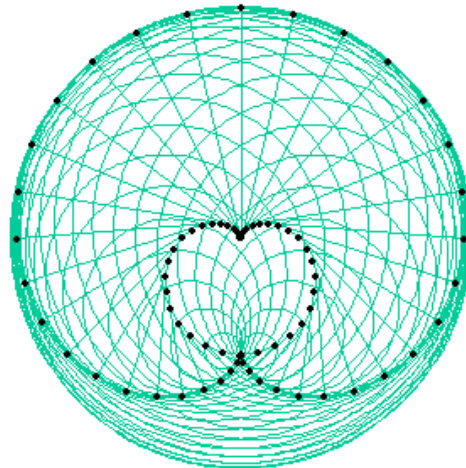


Рис. 4. Кардиоиды, на которой видны встречные потоки

При анализе волновых процессов удобно использовать графический метод «Лиссажу», широко применяемый в акустических и радиотехнических исследованиях для изучения частотных соотношений двух взаимодействующих волн. Точка взаимодействия двух волн, представляющих осциллирующие процессы, скользит в соответствии с их движением, образуя определенную форму, отражающую их соотношение в процессе взаимодействия. Если частоты складываемых взаимно перпендикулярных колебаний

различны, то замкнутая траектория результирующего колебания довольно сложна и называется фигурой Лиссажу. Для построения фигур Лиссажу использовалась компьютерная программа «ПОБЕДИТ». Примеры формирования космических гармоник приведены на рисунке 5.

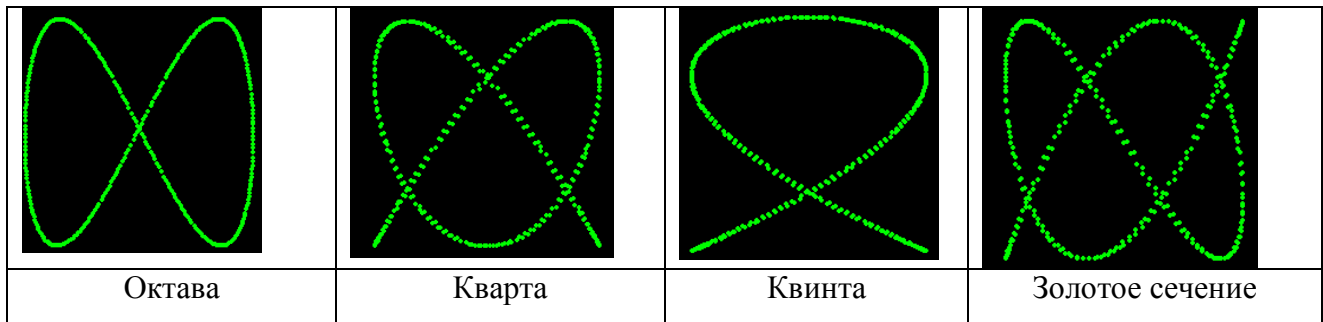


Рис. 5. Космические гармоника

Интерференция (наложение) планетарных колебаний и осциллирующие пакеты химических соединений, построенных в графиках Лиссажу, доказывают постулат Кузанского [4]: Вселенная едина и переходит из одного состояния в другое.

Сравнение фигур Лиссажу, полученных в звуковом диапазоне частот, также указывает на создание в планетарном пространстве «архетипов» химических элементов.

Фигуры Лиссажу, полученные по соотношению частот в звуковом диапазоне планет Солнца и Земли демонстрируют образование углеводородов по КВАРТЕ (рис. 6).

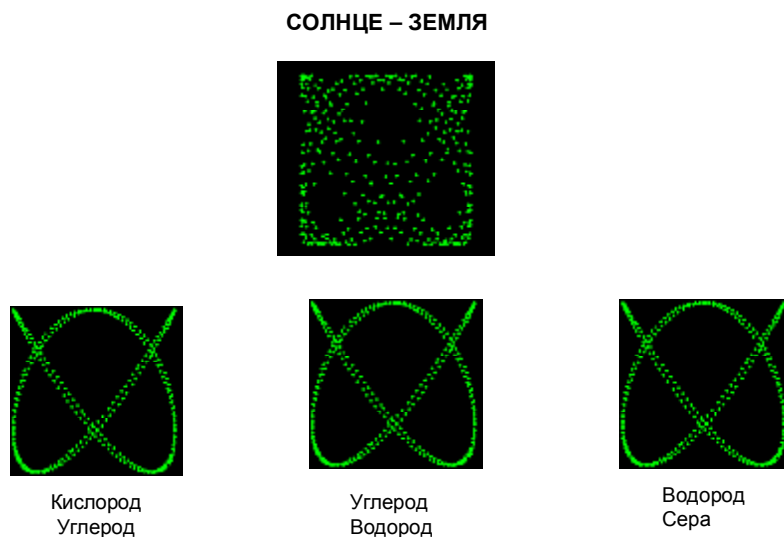


Рис. 6. Фигуры Лиссажу (по соотношению частот в звуковом диапазоне планет Солнца и Земли)

Сравнение фигур Лиссажу на рисунке 4 показывает, что Азот с Фосфором и Азот с Кислородом сформированы вибрациями планет Юпитера и Луны по гармонике КВИНТА (рис. 7).

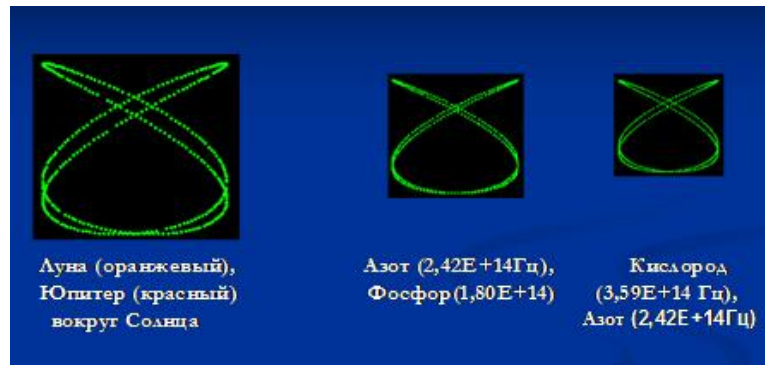
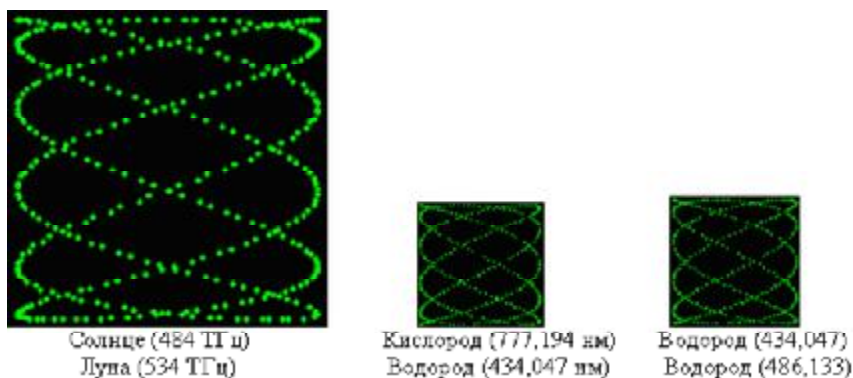


Рис. 7. Фигуры Лиссажу, полученные по соотношению частот в цветовом спектре планет Луны и Юпитера и химических элементов (КВИНТА)

Распространенная на Земле вода, состоящая из водорода и кислорода, имеющих несколько длин волн, так же организуется по закону космических гармоник не случайно, а соизмеримо с взаимодействием друг на друга определенных планет. Интересно отметить, что в полнолуние соотношение частот Солнца и Луны формируют особую воду

С соотношением кислорода 777 нм и водорода 434,047 нм похоже, что водород с длиной волны 434,047 излучается Солнцем, так как он так же участвует при создании воды, эквивалентной соотношениям вибраций Солнце – Юпитер (рис. 8).



Соотношение кислорода (777,194нм) с водородом (434,047нм) наблюдается у структурных единиц ДНК – Тимина и Цитозина, а соотношение азота (1246,962нм) с водородом (1875,1нм) наблюдается при связи структурных единиц ДНК – Рибозы и Аденина.(7)

Так что цветовые и звуковые соотношения частот небесных партнеров – Солнца и Луны воздействуют непосредственно на внутреннюю структуру ДНК тем самым восстанавливаются утраченные химические связи, следовательно должна восстанавливаться целостность живых организмов.

Рис. 8. Графики Лиссажу соотношений Солнца и Луны в период полнолуния

Смотри фигуру с указанием кислород 844 нм, водород 656 нм, близкое к квинте, а соотношение Солнца и Юпитера, так же не попадает в классические фигуры. Эта вода названа «информационной», вероятней всего, принимает информацию космоса из внепланетарной системы. Кислород с водородом, соединенный по золотому сечению, скорее всего определяет формирование биологических систем (рис. 9).

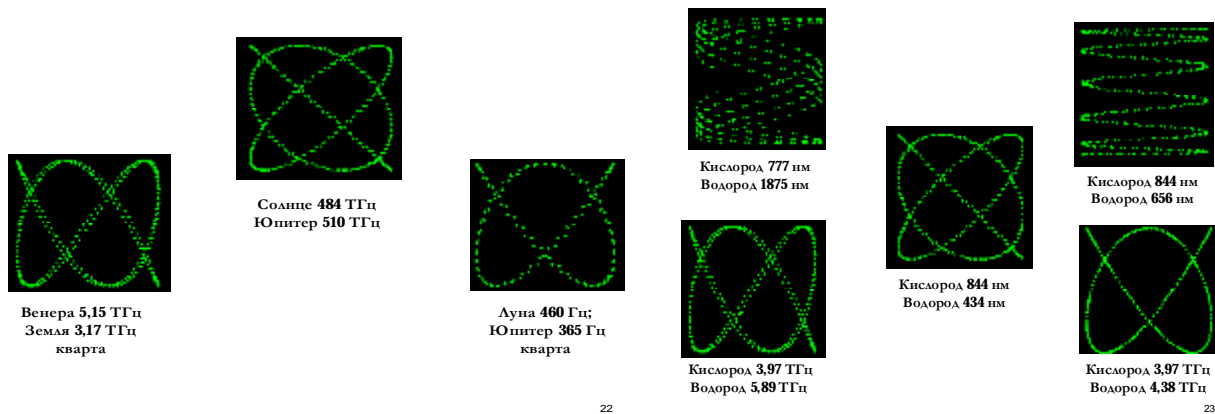
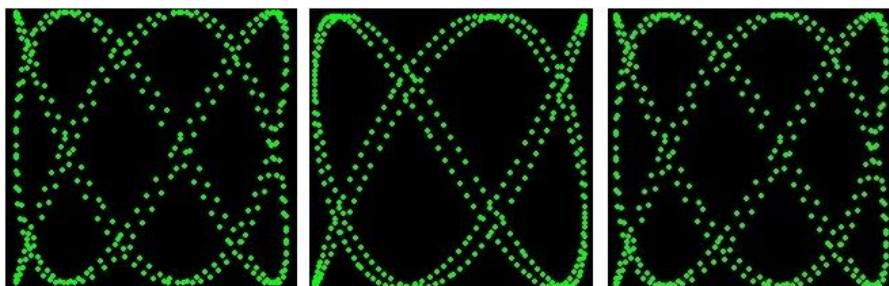


Рис. 9. Соотношение частотных характеристик планет

(идентичное осциллирующим пакетам воды, состоящим из разных длин волн кислорода и водорода)

Показанные графики построены на конкретных волновых величинах – частотах и длинах волн планет и химических элементов, поэтому их надо принимать как реалии, а не гипотетическое представление о природе. Видимо начало всех начал необходимо искать не в уплотненных частицах, а в полевом состоянии материи на уровне, так называемого в старину, «эфира».

Данная работа показывает, что «эфир» с физической точки зрения это результат интерференции информационных планетарных волн. Осознать это явление позволит в будущем уметь созидать, а не разрушать. Созидающим началом для человека, возможно, и для всех живых существ, является звук – голос. Голос человека и ритмы мозга находятся в полном соответствии с планетарными колебаниями (рис. 10).



Голос

Ритмы мозга

Планетарные вибрации

Рис. 10. Голос человека и ритмы мозга

(находятся в полном соответствии с планетарными колебаниями)

Надо ли нам искажать вибрационный фон космического пространства различными негармоничными звуками? Очевидно одно: **КАК** мы говорим, то мы и имеем.

Литература

1. Бартини, Р., Кузнецов, П.Г. Множественность геометрий и множественность физик. – Брянск, 1974.
2. Большаков, Б.Е. Законы сохранения и изменения в биосфере – ноосфере. — М.: ВНИИСИ, 1990.
3. Большаков, Б.Е. Наука устойчивого развития. Книга I: Введение. – М.: РАЕН, 2011.
4. Кузанский, Н. Сочинения в двух томах: том 1. – М.: Мысль, 1979.
5. Кузнецов, О.Л., Большаков, Б.Е. Начала теории устойчивого развития в системе природа – общество – человек/Вестник Международного университета природы, общества и человека «Дубна»: вып. 2. – Дубна: Университет «Дубна», 2000.
6. Кулакова, М.А. Полынцев, Д.А. Волновые характеристики природных систем. Расчетные таблицы. Справочник/ под ред. Ю.А. Рахманина. — М.: Офорт, 2009.
7. Мэнли, П. Холл Пифагорейская теория музыки и цвета//Энциклопедическое изложение символической философии. — Новосибирск: СИФ РАН «КСП», 1997.
8. Пыров, А. Золотое сечение – принцип гармонии [Электронный ресурс], режим доступа: www.c-lampira.org/index.php, свободный. Дата обращения: 19.03.2012.
9. Уизем, Дж. Линейные и нелинейные волны. – М.: Мир, 1977.
10. Чернилевский, В.Е. Гипотеза резонанса: доклады МОЧП (том 41, секция геронтологии «Участие биоритмов организма в процессах развития старения»).
11. Шпар, М. В поисках формообразующей сил [Электронный ресурс], режим доступа: <http://www.anthroposophy.ru/index./php&go=319>, свободный. Дата обращения: 19.03.2012.
12. Эмбриология [Электронный ресурс], режим доступа: www.rusbiolog.ru/2008/10/12/jembriologija.html, свободный. Дата обращения: 19.03.2012.